

I. Propagation d'une O.P.P.M. dans la matière ($\rho_{au}=0, \vec{J}_{au}=\vec{0}$)

$$\underline{\vec{E}} = \underline{\vec{E}}_0(\vec{r}) e^{-i\omega t}$$

[5,5pb]

1. $\left\{ \begin{array}{l} \text{rot } \underline{\vec{E}}_0 - i\omega \underline{\vec{B}}_0 = 0 \\ \text{rot } \underline{\vec{H}}_0 + i\omega \underline{\vec{D}}_0 = 0 \end{array} \right. \quad \begin{array}{l} \text{div } \underline{\vec{B}}_0 = 0 \\ \text{div } \underline{\vec{D}}_0 = 0 \end{array}$

ou $\underline{\vec{H}}_0 = \underline{\vec{B}}_0 / \mu_0$; milieu l.h.i. $\underline{\vec{D}}_0 = \epsilon_r(\omega) \cdot \epsilon_0 \cdot \underline{\vec{E}}_0$

0,5 pt
0,5 pt

2. $\text{rot } \underline{\vec{B}}_0 + i \frac{\omega}{c^2} \cdot \epsilon_r \underline{\vec{E}}_0 = \vec{0}$

3. $\text{div } \underline{\vec{D}} = \text{div} [\epsilon_r(\omega) \cdot \underline{\vec{E}}_0] = \epsilon_r(\omega) \cdot \text{div } \underline{\vec{E}}_0 = 0$
(car l.h.i.)

4. 2 possibilités.

a) $\epsilon_r(\omega) = 0 \Rightarrow \underline{\vec{D}}_0 = \vec{0}$

$\text{rot } \underline{\vec{B}}_0 = \vec{0}$ mais de plus $\text{div } \underline{\vec{B}}_0 = 0$ donc $\underline{\vec{B}}_0 = \vec{0}$

0,5 pt L'onde est purement électrique et $\text{rot } \underline{\vec{E}}_0 = i\omega \underline{\vec{B}}_0 = \vec{0}$

0,5 pt soit $i \underline{\vec{k}} \times \underline{\vec{E}}_0 = \vec{0} \Rightarrow$ le champ $\underline{\vec{E}}_0$ est longitudinal $\underline{\vec{E}}_0 \parallel \underline{\vec{k}}$
rot en notation complexe

exemples: onde de plasma, vibrations harmoniques longitudinales des ions dans les solides.

0,5 pt b) $\text{div } \underline{\vec{E}}_0 = 0$ soit $\underline{\vec{k}} \cdot \underline{\vec{E}}_0 = 0 \Rightarrow$ onde transverse.

5. $\text{rot}(\text{rot } \underline{\vec{E}}_0) = \text{grad}(\text{div } \underline{\vec{E}}_0) - \Delta \underline{\vec{E}}_0$

$\text{rot}(i\omega \underline{\vec{B}}_0) = i\omega \text{rot } \underline{\vec{B}}_0 = i\omega (-\frac{i\omega}{c^2} \epsilon_r \underline{\vec{E}}_0)$

1 pt $\Rightarrow \Delta \underline{\vec{E}}_0 + \frac{\omega^2}{c^2} \epsilon_r \underline{\vec{E}}_0 = \vec{0}$ et la même relation pour $\underline{\vec{B}}_0$.
Equation d'onde

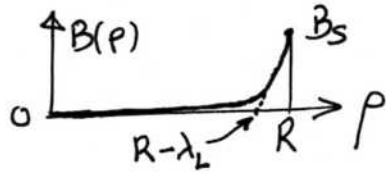
Solutions avec vecteur d'onde complexe: $\underline{\vec{E}}_0 = \underline{\vec{E}}_m e^{i \underline{\vec{k}} \cdot \vec{r}}$

$\Delta \underline{\vec{E}}_0 = -\underline{\vec{k}}^2 \cdot \underline{\vec{E}}_0 \Rightarrow -\underline{\vec{k}}^2 \cdot \underline{\vec{E}}_m + \frac{\omega^2}{c^2} \epsilon_r \underline{\vec{E}}_m = \vec{0}$
choisi réel.

\Rightarrow Relation de dispersion:

1 pt $\underline{\vec{k}}^2 - \frac{\omega^2}{c^2} \epsilon_r(\omega) = 0$

II.1) Invariance selon φ et $z \Rightarrow \Delta = -\frac{\partial^2}{\partial \rho^2} + \frac{1}{\rho} \frac{\partial}{\partial \rho}$
 $\frac{\partial B}{\partial \rho} = \frac{B}{\lambda_L}$ et $\frac{\partial^2 B}{\partial \rho^2} = \frac{B}{\lambda_L^2} \Rightarrow \Delta \vec{B} = \left(\frac{1}{\lambda_L^2} + \frac{1}{\rho \lambda_L}\right) \vec{B}$ mais $\rho \gg \lambda_L$
 $\Rightarrow \frac{1}{\rho \lambda_L} \ll \frac{1}{\lambda_L^2}$



2) λ_L = épaisseur de London = épaisseur de la couche où $B \neq 0$.

3) $\text{rot } \vec{B}_2 = -\frac{\partial B}{\partial \rho} \cdot \vec{e}_\varphi = -\frac{B_s}{\lambda_L} \cdot \exp\left(-\frac{R-\rho}{\lambda_L}\right) \cdot \vec{e}_\varphi \equiv -\mu_0 J_{\text{max}} \exp\left(-\frac{R-\rho}{\lambda_L}\right) \vec{e}_\varphi$

en posant $J_{\text{max}} = \frac{1}{\lambda_L} \cdot \frac{B_s}{\mu_0}$.

4) $J_s = \int_0^R J(\rho) \cdot d\rho = \lambda_L \left[J(\rho) \right]_0^R = -\lambda_L \cdot J_{\text{max}} e^{-\frac{R}{\lambda_L}} \left[e^{\frac{R}{\lambda_L}} - 1 \right] \sim -\lambda_L \cdot J_{\text{max}}$

Tout se passe comme si une nappe de courant d'épaisseur très faible devant R ($\lambda_L \ll R$) circulait dans le sens $-\vec{e}_\varphi$.

Or un solénoïde parcouru par un courant surfacique $J_s = n I$ (en A/m) crée un champ à l'intérieur :

$\vec{B}_{\text{sol}} = \vec{B}_m = \mu_0 J_s \vec{e}_z = -\mu_0 \lambda_L J_{\text{max}} \vec{e}_z$

5) Loin de la surface extérieure du cylindre (à plusieurs λ_L) on a $\vec{B} = \vec{B}_a + \vec{B}_m \simeq \vec{0} \Rightarrow \vec{B}_m = -\vec{B}_a$

et $B_a = B_m = \mu_0 \lambda_L J_{\text{max}}$. La nappe de courant \vec{J}_s est donc la réponse du milieu à \vec{B}_a qui annule le champ magnétique total \vec{B} dans le volume du matériau supra.

6) Diamagnétisme car \vec{B}_m induit opposé à \vec{B}_a .

7) a) $dI = J_s \cdot dz = -\frac{B_a}{\mu_0} \cdot dz$

b) $d\vec{M} = (dI) \cdot (\pi R^2) \cdot \vec{e}_z = -\frac{B_a}{\mu_0} \cdot \underbrace{(dz \cdot \pi R^2)}_{dV} \vec{e}_z$

c) $\frac{d\vec{M}}{dV} = -\frac{\vec{B}_a}{\mu_0}$.